

## دراسة تأثير التعرية على تكسر ريش التوربين البخاري في محطة بيجي الحرارية

د. مهند عبد الفتاح الظاهر	د. تحسين طه عثمان القهوجي
استاذ مساعد	استاذ مساعد
قسم الهندسة الميكانيكية	قسم الهندسة الميكانيكية

جامعة الانبار

مدرس

كلية التقنية - كركوك

جامعة كركوك

### الخلاصة

تعرض ريش المرحلة الأخيرة في التوربينات البخارية في محطة بيجي الحرارية إلى تعرية واضحة خاصة مقدمة وأطراف الريش وسببت هذه التعرية نشوء بعض الشقوق في هذه المنطقة، تطابقت هذه الملاحظات مع النتائج النظرية المستحصلة لظروف توربينات المحطة التي بينت أن القطيرات المصطدمه بأطراف الريش ولدت ضغوطاً عالية على سطح الريشة تسببت في حدوث التعرية ولا يمكن تجنب مخاطر التعرية بصورة كاملة بسبب العلاقة بينها وبين كفاءة المحطة والأسلوب الوحيد هو استخدام الريش المصنوعة من سبايك مقاومة للتعرية.

**الكلمات الدالة:** ريش التوربين البخاري، التعرية، بخار رطب.

أكثر المناطق تأثراً" بهذه الظاهرة هي المنطقة العليا من الريش<sup>[1]</sup>.

انجز الباحث Krzyzanowski (1971-1974-1978) [2] [3] [4] مجموعة من الدراسات عن خطورة التعرية على مراحل الخلفية لريش التوربين البخاري وتوصل الى ما يأتي: ان القطيرات المؤثرة في التعرية (Erosion) هي القطيرات المتكونة خلف الريش الثابتة وسرعة البخار في هذه المنطقة هي مروره بالريش الثابتة كما تمكن الباحث من ايجاد علاقة نظرية لإيجاد نصف قطر القطيرة أثناء مرورها بالريش ويعتمد نمو القطيرة أثناء مروره بالريش على شكل الريشة وسرعة البخار ولزوجته وكثافته.

### المقدمة

إن الشغل الشاغل لمصممي التوربين والدورات الحرارية في محطات القراءة الاعتيادية والتلوية هو زيادة كفاءة الدورة الترموديناميكية للبخار، ويتم هذا عن طريق زيادة درجة الحرارة والضغط . إن زيادة درجة الحرارة تؤدي إلى حدوث اجهادات حرارية غير مرغوب بها ولهذا فان العامل المهم في رفع الكفاءة هو رفع ضغط المرجل ولكن التأثير المرافق لهذه العملية هو زيادة الرطوبة وهذه الزيادة تؤدي إلى ظاهرتين مهمتين أولهما زيادة معدل التعرية (Erosion) وثانيةهما انخفاض كفاءة الريش العاملة ضمن منطقة البخار الرطب وهي عادة الريش الأخيرة من توربينات الضغط الواطئ. أن نسبة الرطوبة يجب ان لا تزيد عن(12%) في كل الأحوال، و بسبب السرعة العالية لطرف الريشة فإن

في أثناء مروره بين الريش يصاحب حدوث تبريد سريع في الوقت نفسه يؤدي إلى حدوث تغير مفاجئ في الخواص термодинамическая للبخار الرطب ويكون الزمن غير كافي لحدث حالة التوازن термодيناميكي<sup>[7]</sup>.

عند تمدد البخار من النقطة (a) الواقعة في منطقة البخار المحمص وعبوره خط التشبع عند النقطة (b) المبين في الشكل (1) فإنه يستمر بسلوكية البخار المحمص حتى النقطة (c) بدلاً من أن يبدأ بالتكثيف بسبب سرعة التمدد العالية و يكون في نقطة (c) أعلى نسبة إفراط في التشبع قبل بدء التكثيف ويسمى الخط الواصل بين هذه النقاط بخط ويلسن ونتيجة لتغير الحمل باستمرار في المحطات البخارية ينتج ما يسمى بمنطقة ويلسن والتي تحدث فيها أغلب حالات الفشل لريش التوربين البخاري<sup>[8]</sup>.

**ثرموديناميكي خليط البخار قطرات الماء:**  
أن ضغط البخار لسطح السائل المنحني يكون أكبر من ضغط البخار لسطح السائل المستوي ولهذا فإن قطرات الصغيرة تكون عند درجة حرارة أوطأ من قطرات أو أقل من درجة حرارة التشبع المناظرة لذلك الضغط وعندما يكون ضغط البخار للقطير (P<sub>r</sub>) ودرجة حرارة سطح القطرة (T<sub>r</sub>) ونصف قطر القطرة (r) ومن علاقة Kelvin – Helmholtz<sup>[1]</sup> نجد أن:

$$P_r = P_s(T_r) \exp\left(\frac{2\sigma}{\rho_f \cdot R \cdot r \cdot T_r}\right) \dots \dots \dots (1)$$

يمكن إيجاد نصف قطر القطرة الحرج (Critical droplet size) الذي تكون قطرات الماء أقل منه

انجز الباحثان (Yeoh & Young 1984)<sup>[5]</sup> دراسة عن الجريان البيني في توربينات الضغط الواسطي واستعملوا برنامج حاسوبي لحل معادلات جريان البخار الرطب وقد توصلت الدراسة إلى النتائج الآتية:

1- إن البخار المفرط التبريد (Super-cooled steam) يؤدي إلى تقليل معدل السرعة عند موقع مختلفة من الريش قد تصل إلى 15% من قيمتها الحقيقة.

2- إن جريان البخار في حالة اللتوازن يؤدي إلى تغير في زوايا دخول البخار إلى الريش قد تصل إلى (10°)

3- إن توزيع ضغط البخار يختلف اختلافاً قليلاً بين حالي التوازن وعدم التوازن.

قام الباحث (Nardin, 1999)<sup>[6]</sup> بدراسة تجريبية لظاهرة التعرية في المرحلة الأخيرة من ريش التوربين البخاري واختيار السبيكة الأفضل لصناعة ريش التوربين البخاري المقاومة للتعرية. واستخدم الباحث ثلاثة سباكة هي:

1- الصلب الكروماني (12% Cr).

2- سبيكة التيتانيوم فناديوم (Ti-6-V).

3- سبيكة التيتانيوم (β).

واستعمل الباحث عةلة دوارة ثبت عليها العينة المراد اختبارها في وسط ظروفه مثبتة عند P=100 Mbar و T=30°C وقد توصلت الدراسة إلى أن سبيكة التيتانيوم من نوع (β) هو الأكثر مقاومة للتعرية.

**طبيعة جريان البخار في التوربينات**  
يختلف جريان البخار الرطب في التوربينات عن الجريان الثنائي الطور المثالي الذي يكون في حالة توازن ثرموديناميكي. أن التمدد السريع للبخار

$$\alpha_r = \frac{\lambda_g}{r} * \frac{1}{1 + \frac{2\sqrt{8\pi}}{1.5Pr_g} \frac{k * Kn}{k + 1}} \quad \dots \dots \dots \quad (6)$$

وتختصر المعادلة (6) في ظروف توربينات الضغط الواطي باعتبار ( $Pr_g = 1.2$  و  $k = 1.3$ ) للحصول على المعادلة الآتية:

$$\alpha_r = \frac{\lambda_g}{r + 1.59 * \ell_g} \quad \dots \dots \dots \quad (7)$$

ولهذا تكون الحرارة المنقلة من القطيرات إلى البخار المحيط كالتالي:

$$\dot{Q} = 4\pi r^2 \alpha_r (T_r - T_g) \quad \dots \dots \dots \quad (8)$$

#### ميكانيكية خليط البخار - القطيرات

عندما تكون السرعة النسبية ( $w_r$ ) لقطيرات نسبة إلى البخار المحيط لا تساوي صفر فإن قوة المقاومة يمكن أن تتحسب من المعادلة الآتية<sup>[1]</sup>:

$$Fd = Cd (\pi r^2) \frac{1}{2} \rho_g w_r^2 \quad \dots \dots \dots \quad (9)$$

وتشير هذه القوة على القطيرات على فرض أن القطيرات كروية الشكل ومعامل المقاومة  $Cd$  يحسب من المعادلة الآتية:

تميل إلى التبخر وأعلى منه إلى النمو من المعادلة الآتية:

$$r_{crit} = \frac{2\sigma}{\rho_f R T_g \ln s} \quad \dots \dots \dots \quad (2)$$

ويمكن التعبير عن درجة حرارة سطح القطيرات بالمعادلة الآتية:

$$T_r = T_s - \Delta T * \frac{r_{crit}}{r} \quad \dots \dots \dots \quad (3)$$

**انتقال الحرارة بين البخار والقطيرات**  
يتكون البخار الجاري في التوربينات من جسيمات صغيرة ولهذا فإن الوسط يكون غير متصل ولو توضيح انتقال الحرارة في التوربينات يستخدم ما يسمى عدد ندسون (Knudson number) :

$$Kn = \frac{\ell_g}{2r} \quad \dots \dots \dots \quad (4)$$

حيث ان:-

$$\ell_g = \frac{1.5 \mu_g \sqrt{RT_s}}{p} \quad \dots \dots \dots \quad (5)$$

تقع أغلب أنواع الجريان في توربينات الضغط الواطي بمدى محصور بين ( $0.01 < Kn < 4.5$ ) ويمكن التعبير عن معامل انتقال الحرارة من القطيرات بالمعادلة الآتية:

تعجل بوساطة البخار باتجاه الجريان الرئيسي. أما طبقة الماء المتكونة فتحرك باتجاه الحافة الخلفية للريش المتحركة ليعاد ترزيذها مرة أخرى، وهكذا تتكرر العملية. لحساب سرعة القطيرات أثناء حركتها بين الصاف الثابت والمحرك يمكن تطبيق قانون نيوتن الثاني على قطرة معزولة ل الحصول على المعادلة الآتية<sup>[1]</sup>:

$$C_* + C * \ln(C - C_*) = C \ln C - \frac{18 * \mu_g}{d^2 * \rho_f} \left( \frac{1}{1 + 2.7 * Kn} \right) * S \quad (13)$$

#### **Droplet Growth Theory**

إن القطيرات التي تتشكل حسب نظرية التكاثف (Nucleation Theory) تستمر بالنمو بوساطة تكثف البخار عليها و معدل التكاثف هذا يمكن السيطرة عليه بوساطة تحديد معدل انتقال الحرارة من القطريرة إلى البخار المحيط ويمكن ربط معدل الحرارة الكامنة ( $Q_i$ ) بمعدل النمو ( $dr/dt$ ) ومن ثم متكاملة المعادلة الناتجة للحصول على المعادلة النهائية:

$$\frac{r^2 - r_i^2}{2} + (1.59\ell + r_{crit})(r - r_i) + r_{crit}(1.59\ell + r_{crit}) \ln \left( \frac{r - r_{crit}}{r_i - r_{crit}} \right) = \frac{\lambda_g \Delta T}{\rho_f \Delta h_{fg}} S \quad (14)$$

#### **العلاقة بين سرعة القطيرات وبعد الريشة**

إن القطيرات المؤثرة في التعرية (Erosion) هي القطيرات المتكونة خلف الريش الثابتة. إن سرعة البخار في هذه المنطقة تساوي ( $0.8C$ ) حيث أن  $C$  تمثل سرعة البخار المطلقة أثناء مروره بالريش الثابتة. يمثل الشكل (3) مخطط السرعة في المراحل الأخيرة للتوربين البخاري حيث تمثل  $AB$  سرعة

$$Cd = \frac{24}{Re_r} \frac{1}{1 + 2.7Kn} = \frac{24\mu_g}{(r + 1.35 * \ell_g) \rho_g w_r} \quad (10)$$

$$Fd = \frac{12\pi\mu_g r^2 w_r}{r + 1.35 * \ell_g} \quad (11)$$

#### **تشوه القطيرات وتحطمها**

إن استقرارية القطيرات المتحركة خلال وسط بخاري تعتمد بصورة رئيسية على نسبة قوى القصور التي تحاول أن تشوهها إلى قوى الشد السطحي التي تحاول الحفاظ على شكلها الكروي أي على عدد وبر الذي يعرف<sup>[2]</sup>:

$$We = \frac{\rho_g w_r^2 d}{\sigma} \quad (12)$$

وعندما يكون رقم وبر صغير (سرعة نسبية واطئة وقطر صغير) فإن القطيرات تبقى كروية أما إذا كان رقم وبر عالي فإن القطيرات تشوه بسرعة ومن ثم تتشظى ويختضر شكلها لعدة عوامل وهي لزوجتها وكثافتها وتعجيلها وعندما تصل قيمة رقم وبر إلى (20) فإنها تتحطم بعد مرور وقت قصير.

#### **حركة السائل على ريش التوربين البخاري**

إن القطيرات الضبابية المتكونة سوف يصطدمون منها بسطح الريش الثابتة وتلتصق به مكونة طبقة من الماء تجري باتجاه الحافة الخلفية (Trailing Edge) أما القسم الآخر من القطيرات ونتيجة الاصدام فإنها سوف تترنذ (Splashing). عند وصول طبقة الماء إلى الحافة الخلفية فإنها تنفصل عنها وترنذ وتعجل بوساطة البخار كما مبين في الشكل (2). اذا تصطدم بالحافة الأمامية للريش المتحركة و يتلتصق قسم من القطيرات بها والقسم الآخر يرتد عن الريشة على شكل قطرات صغيرة

$$U_{em} = \frac{U_a}{N_e} \left( \frac{W_{*N}}{2550} \right)^5 \dots \quad (18)$$

حيث إن ( $N_e$ ) ثابت يمثل مقاومة المعدن للتعرية وهو النسبة بين معدل التعرية لمعدن نسبة إلى معدل التعرية لمعدن أساس يستخدم كمعيار لقياس، وهذا المعدن هو الصلب المقاوم للصدأ الألوستاتي (18Cr-8Ni) و  $U_{em}$  تمثل أعلى قيمة لحظية لحجم النقصان في المعدن لوحدة المساحة لوحدة الزمن ووجد الباحث علاقة تجريبية بين عمق التعرية والزمن كما يأتي

$$\tau = Y * \frac{N_e}{U_a} * \left( \frac{2550}{W_{*N}} \right)^5 \exp \left( 0.25 * \frac{Y}{Y_t} \right) \dots \quad (19)$$

كما يلاحظ فان في المعادلة أعلاه تم إهمال تأثير حجم القطيره في حساب معدل التعرية ولهذا اجري تعديل من قبل معهد المكائن التوربينية في بولندا [6][7] والذي توصل نتيجة مجموعه من التجارب. وعند اخذ قطر القطيره بنظر الاعتبار تحول العلاقة (19) إلى العلاقة الآتية :

$$\tau = Y \frac{N_e}{U_a} \left( \frac{2550}{W_{*N}} \right)^{4.92} \left( \frac{10^{-3}}{d} \right)^{1.69} \exp \left( 0.25 \frac{Y}{Y_t} \right) \dots \quad (20)$$

### النتائج والمناقشة

يتكون توربين الضغط الواطي من 6 مراحل. ضغط البخار الداخل إلى التوربين (8.33 بار) ودرجة حرارته (300°C) وضغط المكثف التصميمي عندما يكون الحمل 100% وبالاستعانة

بالخار الخارج من الريشة الثابتة  $AC$  سرعة الريشة  $BC$  تمثل السرعة النسبية للخار وعن انفصال قطرارات الماء من الحافة الخلفية من الريشة الثابتة فانها تكون بطبيعة الحركة وسرعتها مماثلة بالخط  $AD$  حيث تكون اقل بكثير من سرعة البخار اما سرعة القطيره النسبية فمماثلة بالخط  $CD$  حيث نلاحظ ان القطيرات سوف تصطدم بالريشة عند مقدمتها اعتمادا على هذا المخطط. أثبت الباحث (J.K.rzyznowski)<sup>[4]</sup> اما سرعة القطيره بين الريشة فيمكن أن تتحسب من المعادلة الآتية:

$$C_* = 0.8C \left[ 1 - \frac{1}{\left[ 1 + A(\eta + S) + \sqrt{A^2(\eta + S)^2 + 2A(\eta + S)} \right]^{\frac{1}{2}}} \right] \dots \quad (15)$$

والمركبة العمودية لسرعة القطيره المصطدمه بالريشة فتحسب من المعادلة الآتية:

$$W_{*N} = u \cdot \sin(\beta_{bl}) \left[ 1 - \frac{C_* \cdot C \cdot \sin(\beta_{bl} - \alpha_1)}{C \cdot u \cdot \sin(\beta_{bl})} \right] \quad (16)$$

أن الضغط التي سلطها القطيره على المعدن يمكن حسابه من المعادلة الآتية:

$$P_{max} = \rho_f * a_f * W_{*N} \left( 1 + 2 * \frac{W_{*N}}{a_f} \right) \dots \quad (17)$$

حيث ان ( $a_f$ ) تمثل سرعة الصوت في الماء. حجم معدن الريشة المزال نتيجة التعرية توجد العديد من القوانين التي تستخدم لحساب كمية المعدن المزال منها قاذ ون (Heymann) و ينص هذا القانون على مايلي:

### 3- العلاقة بين طول الريشة ومعدل التعرية:

العلاقة بين سرعة القطيره وارتفاع الريشة مبينة في الشكل (6) اذ تزداد سرعة القطيره بزيادة ارتفاع الريشة كما تزداد سرعة القطيره بزيادة سرعة البخار مع طول الريشة ويرجع السبب في هذا السلوك الى السرعة العالية لطرف الريشة العلوي والتي تغير من شكل مخطط السرعة مما يزيد من سرعة القطيره. لقاء مزيد من الضوء على تأثير سرعة القطيره على معدل التعرية رسمت العلاقة بين المركبة العمودية لسرعة القطيره النسبية وطول الريشة الشكل (7)، اذ تزداد هذه المركبة بتزايد ارتفاع الريشة كما يلاحظ ان المركبة العمودية تقل بزيادة سرعة البخار ولكن بمعدل قليل وهذه المركبة هي التي تحكم بمقدار التعرية على الريش وسبب هذه السلوكية يرجع الى ان تزايد ارتفاع الريشة يزيد من سرعة الريشة(الخط CA في الشكل 3) وعند فرض ثبوت سرعة البخار فأن الخط CD الذي يمثل سرعة القطيره النسبية سوف يزداد. من الشكل (7) نستنتج ان القطيرات المصطدمه بطرف الريشة العلوي تكون ذات سرعه عاليه. ان العلاقة بين ضغط التصادم الذي تسلطه القطيره المصطدمه بالريشة مع ارتفاع الريشة العلوي مبينة في الشكل (8) حيث يتبعن تزايد ضغط التصادم مع طول الريشة ليصل الى قيم عاليه (650Mpa) (تم قياسه من المعادله 17) لا تستطيع اغلب السباائك مقاومتها كما نجد تناقص الضغط المسلط بزيادة سرعة البخار.

يصف الشكل (9) العلاقة بين كمية المعدن المزالة والزمن حيث تزداد هذه الكمية بزيادة سرعة التصادم وبنقاط الزمان اما الشكل (10) فيبين العلاقة بين معدل التعرية وطول الريشة حيث نلاحظ ان اكثر المناطق تعرضاً للتعرية هي أعلى الريش وتشكل

بخيط مولير تم الحصول على النتائج المبينة في الجدول (1). ويوضح من الجدول أعلاه أن المرحلتين الأخيرتين تقعان ضمن منطقة البخار الرطب وهي المنطقة التي حصل فيها تكسر الريش.

### 1- تحديد منطقة وليس لمحطة كهرباء بيجي:

تقع منطقة وليس في المنطقة المحصورة بين نسبتي جفاف (0.978-0.962) وبعد رسم خط التمدد الايزنتروبي وال حقيقي على مخطط مولير وتقسيمهما إلى ستة مراحل نجد ان منطقة وليس تقع ضمن المرحلة ما قبل الاخيرة لنوربيانات محطة كهرباء بيجي كما في الشكل(4).

### 2- تأثير المسافة الفاصلة بين الريش الثابتة والمتحركة(S) على سرعة القطيره:

تبلغ المسافة الفاصلة بين الريش الثابتة والمتحركة في المرحلة الاخيرة لمحطة كهرباء بيجي حوالي (0.0442m) ويمثل الشكل(5) تغير سرعة القطيره والتي تم حسابه حسب المعادلة (13) مع المسافة (S) حيث نجد انها تزداد مع المسافة (S) كما نجد ان زيادة سرعة البخار تؤدي الى زيادة سرعة القطيره بمعدلات واطئة. كما يلاحظ ان القطيرات صغيرة الحجم تكون ذات سرعه اعلى من القطيرات الكبيرة بسبب زيادة قوى المقاومة التي تزداد طردياً مع زيادة حجم القطيره. وهذه المسافة يجب ان تكون محسوبة بدقة لضمان حدوث انهيار للقطيرات قبل وصولها صف الريش الثابتة. ويمكن حساب قطر القطيره باستخدام المعادلة (12) التي تتعرض للانهيار حيث يبين الجدول (2) تعرض القطيرات ذات حجم اكبر من (200μm) الى الانهيار في ظروف نوربيانات محطة بيجي الحرارية.

2- تعرض الجزء الأعلى من الريش إلى تعرية واضحة وتركزت هذه الظاهرة في مقدمة الريشة مما أدى إلى خشونة هذه المنطقة ونشوء بعض الشقوق منها.

3- تجعل القطيرات من لحظة انفصالها من الريش الثابتة لحين وصولها إلى الريش المتحركة وتكون القطيرات الصغيرة أسرع من الكبيرة، كما تؤدي زيادة سرع البخار إلى زيادة سرع القطيرات.

4- تزداد المركبة العمودية لسرعة القطيرات وهي المسئولة عن معدلات التعرية مع ارتفاع الريشة وتؤدي هذه الزيادة إلى زيادة الضغط المسلط من قبل القطيرات على سطح المعدن مما أدى إلى زيادة معدل التعرية مع طول الريشة كما يلاحظ تزداد كمية المعدن المزاللة مع تقادم الزمن.

5- تكون الحافة الإمامية الأكثر تعرضاً للتعرية وتكون كمية المعدن المزاللة عند أعلى قيمة في منطقة مقدمة الريشة تماماً.

6- الاعتماد على استخدام الريش المصنوعة من التيتانيوم في المراحل الثلاث الأخيرة عند الاتفاق مع الشركات المصنعة لكونها مقاومة للتعرية.

#### المصادر

1-Moore,M.J, Sievrding .C.H, "Two Phase Steam Flow in Turbine and separator", Mc-Graw Hill,1976.

2-Krzyzanowski and et al,"Semi-Empirical of Erosion Threat in Modern Steam Turbine",ASME Journal of Power for Engineering, Vol 93,No 1,1971.

مناطق التعرية سطوح خشنة تزيد من احتمالية تكون الشقوق منها ويبين الشكل (11) احدى ريش المراحلة الأخيرة لتوربين الممحطة والتي تعرضت إلى تعرية مما أدى إلى نشوء شقوق من منطقة (Stellite strip). إن زيادة كمية المعدن المزاللة تؤدي إلى تغيير قيمة التردد الطبيعي للريشة مما يؤدي إلى نشوء اهتزازات تؤثر على منظومة الريش.

**4- تأثير التعرية على مقدمة الريشة**  
يصف الشكل (12) العلاقة بين سرعة القطيرات أثناء مرورها بالريش مع الإحداثي (η) فيلاحظ تزايد سرعة القطيرات المطلقة مع الإحداثي (η) بينما في الشكل (13) نجد ان المركبة العمودية تقل مع المسافة (η) حيث يلاحظ ان المركبة العمودية لسرعة القطيرات تكون أعلى ما يمكن عند مقدمة الريشة وهذا يؤدي إلى ان مقدمة الريشة تكون معرضة إلى ضغوط عالية تسببها القطيرات ناتجة عن كبر حجم هذه القطيرات وسرعتها العالية كما في الشكل (14) مما أدى ان تكون مقدمة الريشة في محطة كهرباء بيجي الحرارية معرضة إلى عملية تعرية شديدة كانت السبب في نشوء بعض الشقوق من هذه المنطقة كما في الشكل (11).

#### الاستنتاجات والتوصيات

ان الاستنتاجات والتوصيات التي يمكن استخلاصها من هذه الدراسة كانت كالتالي:  
1- ان معظم حوادث التكسر حدثت في المراحلة الأخيرة وهي منطقة تكون القطيرات الأولى او ما تسمى بمنطقة ويلسن والواقعة في المرحلتين الأخيرتين وما قبل الأخيرة لتوربين محطة بيجي الحرارية.

3-Krzyzowski, "The Correlation Between Droplet Stream Structure and Steam Turbine Blading Erosion", ASME Journal of Power for Engineering, Vol 96, No 4, 1974.

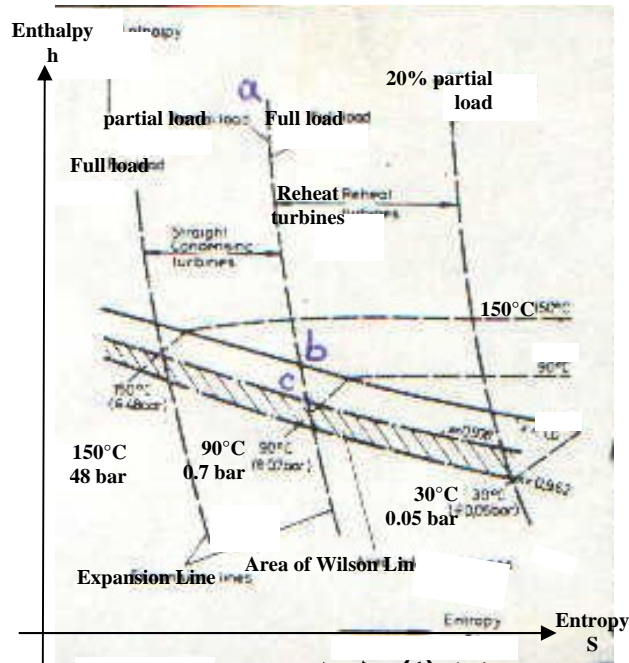
4- Krzyzowski and Szperie, "The Influence of Droplet Size On The turbine Blading Erosion Hazard", ASME Journal of Power for Engineering, Vol 100, No 4, 1978.

5-Yeoh ,C. C, and Young, J. B., "Non Equilibrium Through Flow Analysis of Low-Pressure Wet Steam Turbine", ASME Journal of Power for Engineering, Vol 106, October 1989

6-Nardin, p., "Erosion Study of Final stage Blading of Low Pressure steam Turbine", Journal of Applied Surface Science, 1999.

7 صالح إسماعيل نجم وآخرون ،"ديناميكا الحرارة للمهندسين " مديرية دار الكتب للطباعة والنشر ، جامعة الموصل ، 1988 .

8-Jaffe, R. I, "Corrosion Fatigue of Steam Turbine Blade" Work Shop, Palo Alto, California, Sept, 21-24, 1980



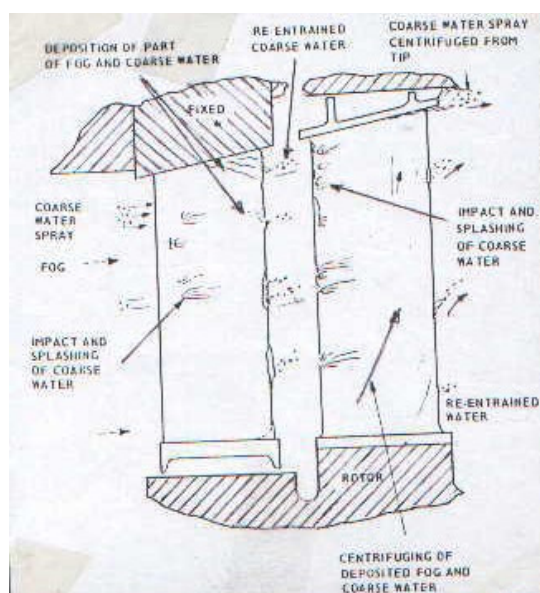
شكل (1) خط ويلسن

جدول (1) خواص البخار في توربين الضغط الواطئ

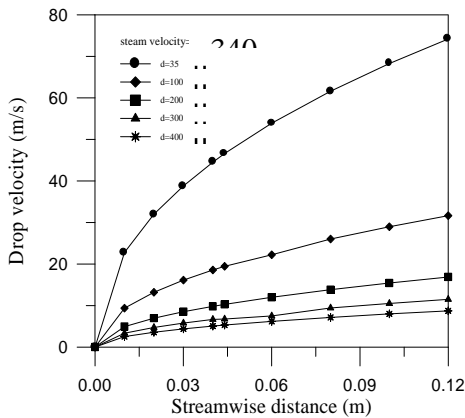
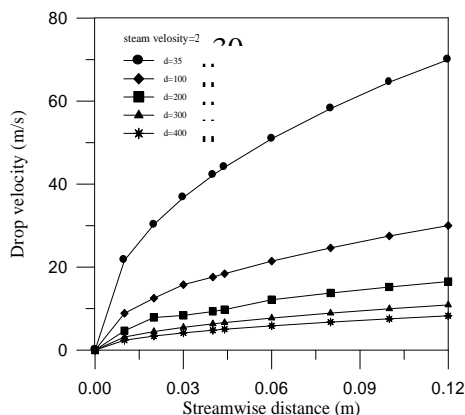
الحجم النوعي (Kg/m <sup>3</sup> ) × 10 <sup>3</sup>	نسبة الجفاف (x)	درجة الحرارة (C)	الضغط (بار)	نقطة الحالة
312	-	300	8.33	1
489.4	-	245	4.66	2
878.4	-	188	2.44	3
1127.6	-	125	1.6	4
3527.414	0.986	79.24	0.45	5
8073.42	0.956	57.8	0.18	6
21982.314	0.926	36.16	0.06	7

جدول (2) احجام القطيرات المعرضة للانهيار في ظروف توربينات محطة بحري الحرارية

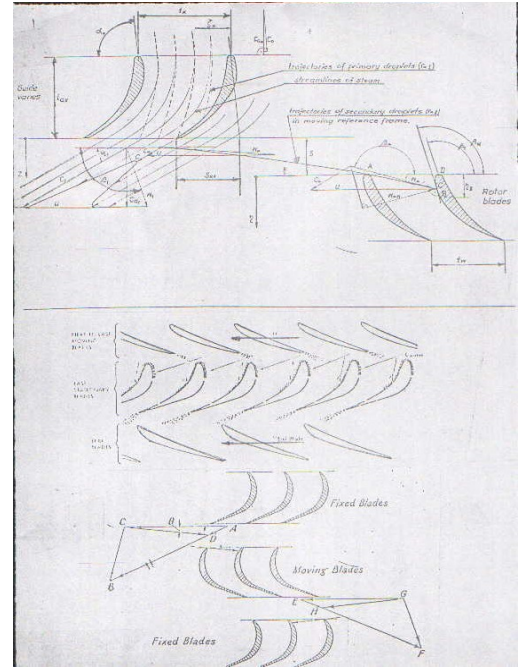
قطر القطيرة (μm)	رقم وير (عند سرعة بخار=300 م/ث)	رقم وير (عند سرعة بخار=340 م/ث)
400	300	25.80
300	200	16.82
200	100	7.887
100	35	2.252



شكل (2) ميكانيكية حركة القطيرات في مراحل التوربين البخاري الرطب



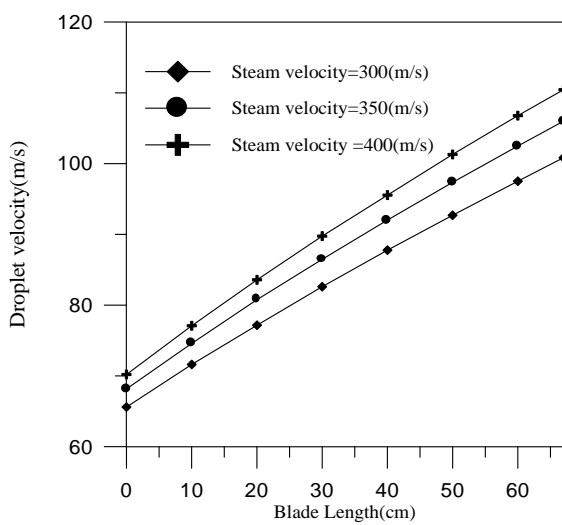
شكل (5) العلاقة بين سرعة القطيره والمسافة (S)



شكل (3) ابعاد الريشة المؤثرة على سرعة القطيره [8]

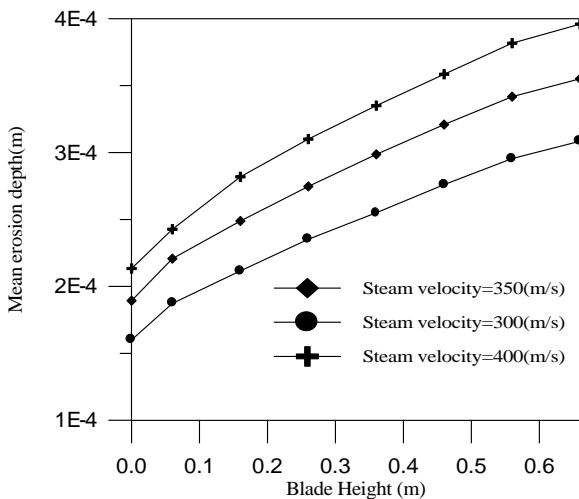
h

S

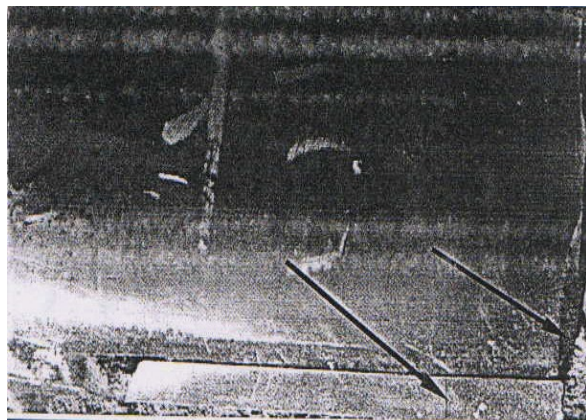


شكل (6) العلاقة بين سرعة القطيره وارتفاع الريشة لسرع بخار مختلفة

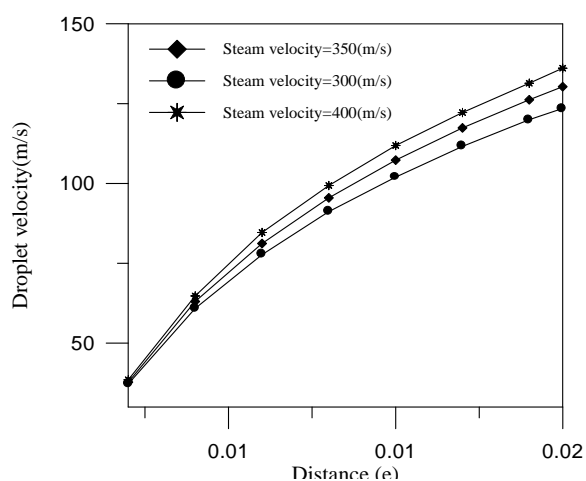
شكل (4) منطقة ويلسن في محطة كهرباء بيجي الحرارية



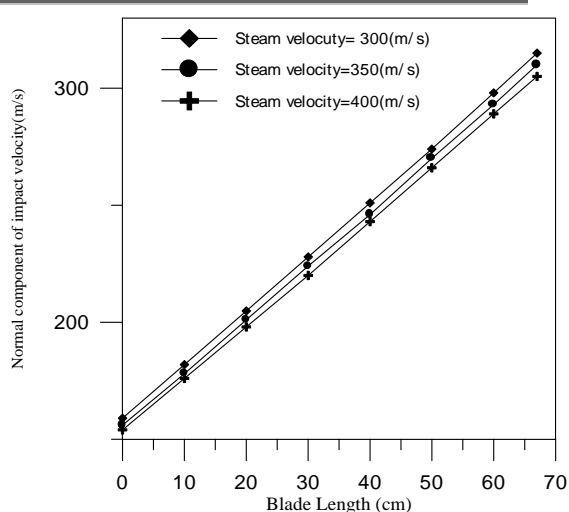
شكل (10) العلاقة بين معدل التعرية وارتفاع  
الريشة لسرع بخار مختلفة



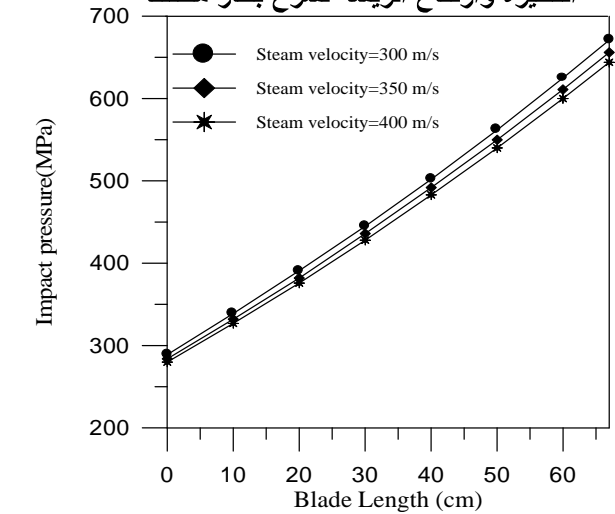
شكل (11) احد الشفوق المتكونة من منطقة التعرية



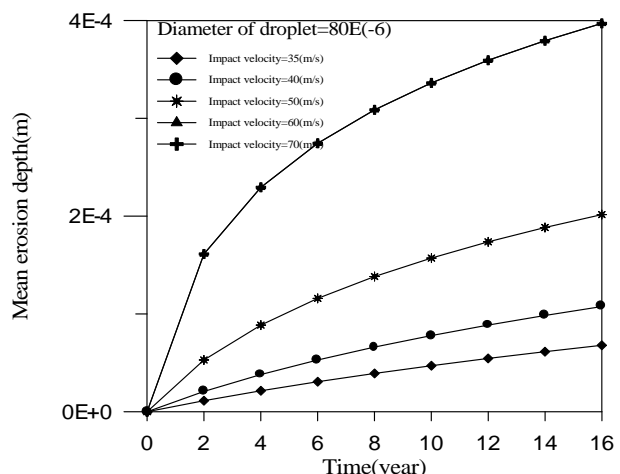
شكل(12) العلاقة بين سرعة القطيرة المطلقة والإحداثي  
(η) ولسرع بخار مختلفة



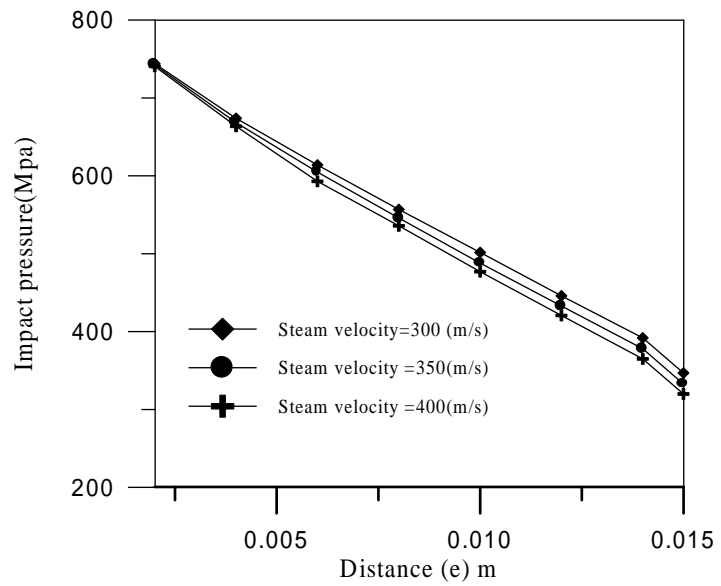
شكل (7) العلاقة بين المركبة العمودية لسرعة  
القطيرة وارتفاع الريشة لسرع بخار مختلفة



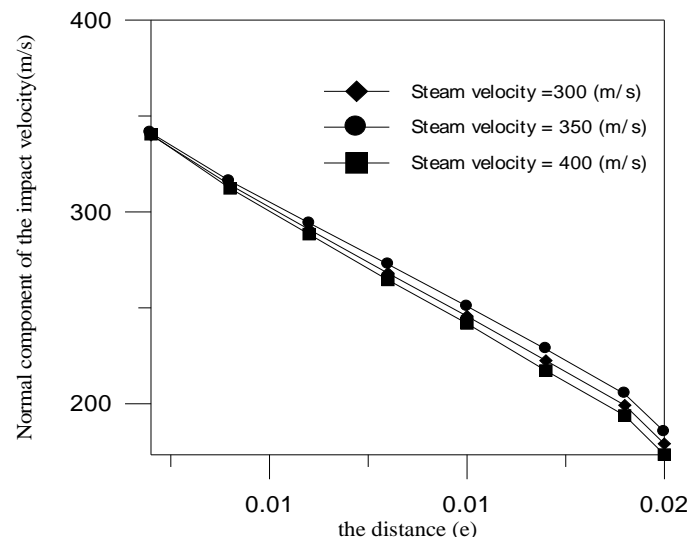
شكل(8) العلاقة بين ارتفاع الريشة وضغط التصادم  
لسرع بخار مختلفة



شكل (9) العلاقة بين معدل التعرية و سرعة القطيرة  
والزمن



شكل (13) العلاقة بين المركبة العمودية لسرعة القطيرة والحادي (η) ولسرع بخار مختلفة



شكل (14) العلاقة بين ضغط التصادم والمسافة (η) ولسرع بخار مختلفة

# **STUDY THE EFFECT OF EROSION ON THE BREAKAGE OF STEAM TURBINE BLADE AT BAIJI POWER STATION**

**Dr. Mohanned Abdu-Alfattah**   **Dr. Tahseen Taha Othman**   **Dr. Omer Khilil Ahmed**  
Assistant Prof.                      Assistant Prof.                      Lecturer  
**Mech. Eng. Dept. –**                **Mech. Eng. Dept.**                **Technical College- Kirkuk**  
**Al-Anbar University**                **Kirkuk University**

## ABSTRACT

The last stage endured on obvious erosion especially the front and the end of the blade. The erosion caused the appearance some cracks in this place. These remarks coincided with the theoretic al results, which were acquired according to the condition of the turbine of station which showed that the droplet, which collided with the blade ends, caused high pressure on the surface of the blade and caused the occurrence of the corrosion. The danger of the erosion unavoidable due to its relationship with tae station efficiency and the only to avoid that is the use of the blade made of erosion resistance ingots.

**KEY WORDS:** Steam Turbine Blade, Erosion, Humidify Steam

This document was created with Win2PDF available at <http://www.win2pdf.com>.  
The unregistered version of Win2PDF is for evaluation or non-commercial use only.  
This page will not be added after purchasing Win2PDF.